

九州大学工学部 正会員 藤谷陽一
九州大学工学部 学生員 工谷 江

1. まえがき

Dobbins および Levich は再曝気係数に表面張力が影響すると言ふて次式を提案している。

$$K_r = \text{const.} \cdot \gamma^{-\frac{1}{2}} \rho^{\frac{1}{2}} \sigma^{-\frac{1}{2}} \quad (1)$$

前者は表面の更新を考えているが、後者は表面の更新を考えず次元解析をもとにした、異な考え方から再曝気係数を求めていいるが、結論の関数型は一致している。

本報告では、水に界面活性剤を入れて表面張力を変化(低下)させて、再曝気係数を測定し、その結果から再曝気係数にあよぼす表面張力の影響を検討した。

2. 実験装置と実験方法

本実験において、使用した水および界面活性剤はそれぞれ蒸水およびラウリル硫酸ナトリウム(ソレソ)であり、SDS濃度を変化させて表面張力と再曝気係数を測定した。

① 表面張力の測定

小型の水槽に造波用振動子を設け、スピーカーでその振動子を振動させて表面張力波を生起させ、その波長を測定して次式から表面張力の大きさを求めた。

$$\sigma = \left(\frac{2\pi L w^2}{g} - 1 \right) g \left(\frac{L}{2\pi} \right)^2 \quad (2)$$

波長の測定は水面を底部から線光源で照らし、水面の波形を上部に設けたくもりガラスに写し、それを写真撮影した。(図-1 参照)

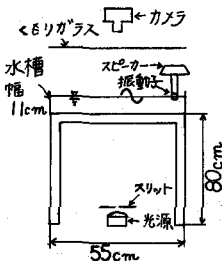


図-1

② 再曝気係数の測定

ポリバケツの水槽に搅拌用の4枚バネ4組を底部に設置し、これを回転させて曝気を行った。脱酸素には窒素ガスを使用し、溶存酸素計は隔膜ガルバニ電極方式のものを使用した。(図-2 参照)

3. 実験結果

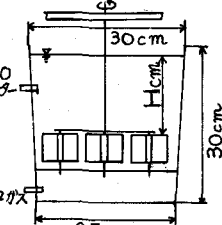
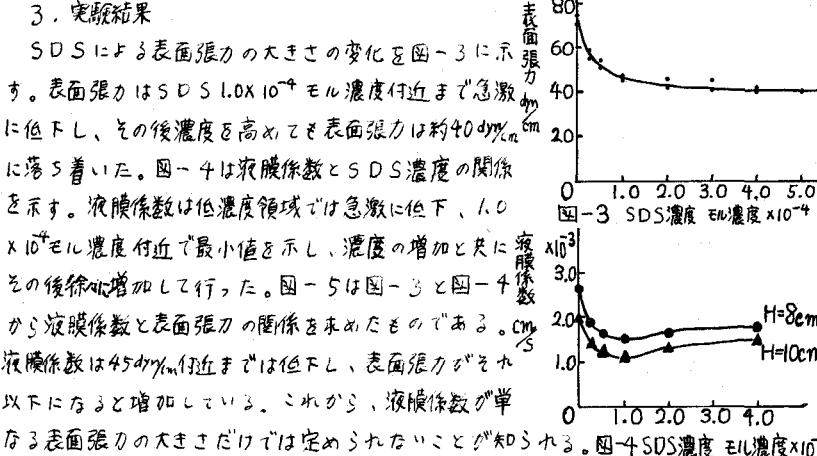
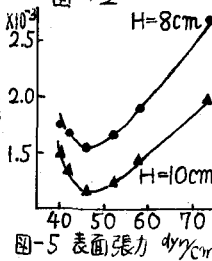


図-2

図-4 SDS濃度 ($M \times 10^{-4}$)

4. 結果の考察

表面張力説による式では、液膜係数は表面張力の $\frac{1}{2}$ 乗に比例していることから、表面張力の低下と共に増加するはずであるが、図-4はそれと異った結果を示している。その結果は本表面に形成

された界面活性剤膜が酸素の分子拡散を阻害したためと考えられるが、それには高濃度領域において並に液膜係数が増加していることを説明することができない。そこで、我々は表面の伸縮の結果、表面における界面活性剤の濃度差が生じ、それに伴う表面張力差が生じることから、表面において最小渦の乱れエネルギーの一部が表面張力差によつて消費されるものと考えた。まず、表面近傍の流体内部における活性剤の拡散方程式および表面における活性剤の保存式を次式とする。(Sは表面から水深方向に設定する)乱れを周期運動として、

$$\frac{\partial C}{\partial t} = -\alpha \frac{\partial S}{\partial y} + D \frac{\partial^2 C}{\partial y^2} \quad (3)$$

$$\frac{dS}{dt} = -\alpha S + D \frac{\partial C}{\partial y} \Big|_{y=0} \quad (4)$$

ここで、 $\alpha = A e^{i\omega t}$, $C = \bar{C} + \Delta C e^{i\omega t}$, $S = \bar{S} + \Delta S e^{i\omega t}$, $D = \bar{D} + \Delta D e^{i\omega t}$

および $\Delta S = \frac{dS}{dt} \Delta S$, $\Delta S = \frac{dS}{dC} \Delta C$ とおき、(3), (4)式を解いて表面張力差 $\Delta \sigma$ を求めると(5)式を得る。

$$\Delta \sigma = -\frac{\sqrt{\frac{w_0 w_0}{2}} - (w + \sqrt{\frac{w_0 w_0}{2}}) i}{w(w + \sqrt{w_0 w_0} + w_0)} \cdot \bar{S} \cdot \frac{dS}{dC} \cdot A \quad \text{ただし } w_0 = \frac{D}{(\frac{dS}{dC})^2} \quad (5)$$

表面の変形時間よりも界面活性剤の relaxation time が小さくて、表面伸縮に併せて十分はなく界面活性剤が流体内部から表面に補給されるとすると、 $w \ll w_0 = \frac{D}{(\frac{dS}{dC})^2}$ とおり、(4)より(5)式は

$$|\Delta \sigma| \approx \frac{(\frac{dS}{dC})(-\frac{dS}{ds}) \bar{S}}{fwD} |\alpha| \quad (6)$$

となる。更に、Cobb's の吸着式を用いて、

$$\bar{S} = -\frac{C}{RT} \frac{d\sigma}{dC}$$

(6)式を变形すると(8)式を得る。

$$|\Delta \sigma| \approx \frac{1}{RTwD} \left(\frac{d\sigma}{dC} \right)^2 \bar{C} |\alpha| \quad (8)$$

ここで、図-3 の実験値から $\frac{d\sigma}{dC}$ を求め、 $(\frac{d\sigma}{dC})^2 \bar{C}$ の関係を図-6 に示す。

これを最小二乗法で、 U をそれに応する乱れ速度または U_s を表面における乱れ速度として、(8)式を用いて表面での力のつり合いから、表面でのエネルギー消費率 ϵ を求めよ。

$$\epsilon \approx \mu \frac{U - U_s}{\lambda} = \frac{|\Delta \sigma|}{\lambda} = \frac{K(C)}{\lambda} |\alpha| = \frac{K(C)}{\lambda} \left(\frac{U_s}{\lambda} \right) \quad \therefore U_s = \frac{U}{1 + \frac{K(C)}{\mu \lambda}} \quad (9)$$

ただし、 $K(C) = \frac{1}{RTwD} \left(\frac{d\sigma}{dC} \right)^2 \bar{C}$

$$\epsilon \approx \frac{U_s^3}{\lambda} = \frac{U^3}{\lambda} \left(1 + \frac{K(C)}{\mu \lambda} \right)^{-3} \approx \epsilon_0 \left(1 + \frac{K(C)}{\mu \lambda} \right)^{-3} \quad (10)$$

したがって、(10)式より液膜係数は

$$K_L = \text{Const. } D^{\frac{1}{2}} \lambda^{-\frac{1}{2}} \epsilon^{\frac{1}{3}} = \text{Const. } D^{\frac{1}{2}} \lambda^{-\frac{1}{2}} \epsilon_0^{\frac{1}{3}} \left(1 + \frac{K(C)}{\mu \lambda} \right)^{-\frac{3}{2}} = K_{L0} \left(1 + \frac{K(C)}{\mu \lambda} \right)^{-\frac{3}{2}} \quad (11)$$

となるので、図-4 を定性的に説明することが出来る。結局、再曝気係数は単なる表面張力の大きさに影響されず、界面活性物質が存在する場合、表面の伸縮によってつくれる表面張力差の影響を顕著に受けたと考えられる。Clean water の場合、表面が伸縮しても表面張力は一定なので再曝気係数は表面張力の影響を受けないことになる。

今後、種々の界面活性剤を用いて、まず活性剤の relaxation time を測定し、この値とそれの最小渦の寿命時間との関係が再曝気係数における影響について検討を進めたい。

σ : 表面張力, λ : 波長, T : 絶対温度, R : 気体定数, α : 表面の伸縮速度, D : 拡散係数, ρ : 流体密度, μ : 粘性係数, η : 動粘性係数, w : 周波数, K_L : 液膜係数, K_{L0} : Clean water での液膜係数

C : 表面近傍の活性剤濃度, \bar{C} : 内部平衡濃度, ΔC : 表面近傍の濃度変化, S : 表面の面濃度

\bar{S} : 表面の平衡面濃度, ΔS : 表面の面濃度変化, $\bar{\sigma}$: 平衡表面張力, ϵ_0 : 亂れのエネルギー消費率

5. 参考文献

D Dobbins, W.E.: ASCE, P53-78, SA3, 1964 ② Levich, V.G.; Physicochemical Hydrodynamics, Prentice Hall, P689-692, 1962

③ IPアーリーに及ぼす密接持続の影響 土木学会第28回年次学術講演会講演集第2部 II-212

④ 日本化学会編 実験化学講座 7 界面化学 P35-36 ⑤ Lamont and Scott, J., PS13-PS19 (1968)

